

고로쇠 Coumarinolignan의 β -Cyclodextrin 포접화합물 제조 및 암세포증식 억제활성

임순호¹ · 정다운² · 윌리엄스다렌² · 게클러커트³ · 김경근⁴ · 신부안⁴ · 이익수⁵ · 김현정^{6*}

¹동신대학교 제약공학과, ²광주과학기술원 생명과학부, ³광주과학기술원 나노바이오재료전자공학과,

⁴전남대학교 의과대학, ⁵전남대학교 약학대학, ⁶목포대학교 약학대학

Anti-Proliferative Effects of β -Cyclodextrin Inclusion Complexes with Coumarinolignans from *Acer mono*

Soon-Ho Yim¹, Da-Woon Jung², Darren R. Williams², Kurt E. Geckeler³, Kyung Keun Kim⁴,
Boo Ahn Shin⁴, Ik-Soo Lee⁵ and Huyn Jung Kim^{6*}

¹Department of Pharmaceutical Engineering, Dongshin University, Jeonnam 520-714, Korea

²School of Life Sciences, Gwangju Institute of Science and Technology, Gwangju 500-712, Korea

³Department of Nanobio Materials and Electronics, Gwangju Institute of Science and Technology, Gwangju 500-712, Korea

⁴Chonnam National University Medical School, Gwangju 501-746, Korea

⁵College of Pharmacy and Research Institute of Drug Development, Chonnam National University, Gwangju 500-757, Korea

⁶College of Pharmacy and Natural Medicine Research Institute, Mokpo National University, Jeonnam 534-729, Korea

Abstract – Two coumarinolignans, cleomiscosins C (**1**) and D (**2**) were isolated from the heartwood of *Acer mono*, together with four compounds, 5-O-methyl-(E)-resveratrol-3-O- β -D-glucopyranoside (**3**), 5-O-methyl-(E)-resveratrol-3-O- β -D-apiofuranosyl-(1→6)- β -D-glucopyranoside (**4**), scopoletin (**5**), and (E)-resveratrol-3-O- β -D-glucopyranoside (**6**). Of them, cleomiscosins C (**1**) and D (**2**) were applied to preparing inclusion complex molecules with β -cyclodextrin (β -CD) to improve the very poor solubility in cell media. The CD complexes of **1** and **2** exhibited an enhancement of water solubility which is feasible to measure their cytotoxicity using a spectrophotometer in a cell-based assay. Anti-proliferative activity of these complex molecules was successfully estimated on HCT116 human colon cancer cells, and cleomiscosin D (**2**) showed anti-proliferative effects at the concentration of 1.95~31.2 μ g/mL in a dose-dependent manner.

Key words – *Acer mono*, Coumarinolignans, Cleomiscosins, β -Cyclodextrin inclusion complex, Anti-proliferation

단풍나무속(*Acer genus*)은 단풍나무과(Aceraceae)에 속하는 식물로 북반구 온대지역에 두루 분포하며 약 200여종에 이른다고 알려져 있다.¹⁾ 그 중 고로쇠나무(*Acer mono Maximowicz*)는 한국, 일본, 중국, 몽골 및 러시아 극동지방 등에 분포하는 낙엽성 큰키나무로서,^{1,2)} 그 줄기껍질을 지금 죽(地錦械)이라 하여 풍습골통(風濕骨痛) 골절(骨折), 타박상(打撲傷)을 치료하는데 이용해왔으며, 민간에서는 봄에 수액(水液)을 채취하여 위장병 치료에 사용하였다.²⁾ 고로쇠나무의 생리활성과 식물화학성분에 대한 기존 연구로는, 고로쇠나무 수액이 골다공증 완화효능³⁾과 스트레스성 위염에 따른 위점막 손상에 대한 보호능⁴⁾을 나타냄이 동물실험을 통

해 최근 보고되었으며, 고로쇠나무 잎으로부터 간보호활성 물질인 stilbenoid 배당체 및 flavonoid 성분이 분리, 보고된 바 있다.^{5,6)} 위와 같이 고로쇠나무에 대한 연구는 수액 또는 채취가 용이한 잎을 대상으로 주로 이루어져왔으며 고로쇠나무의 심재(心材)나 줄기껍질에 대한 성분 또는 활성 연구는 아직까지 보고된 바 없다.

천연물 기원의 생리활성 2차대사산물을 탐색하는 연구의 일환으로, 본 연구실은 고로쇠나무 심재의 EtOAc 추출물에 대한 성분조사 및 분리실험을 진행하였고, 그 결과 2종의 주요 coumarinolignan 성분, cleomiscosin C(**1**) 및 cleomiscosin D(**2**)와 더불어 3종의 stilbene 배당체, 5-O-methyl-(E)-resveratrol-3-O- β -D-glucopyranoside(**3**), 5-O-methyl-(E)-resveratrol-3-O- β -D-apiofuranosyl-(1→6)- β -D-glucopyranoside(**4**)

*교신저자(E-mail): hyunkim@mokpo.ac.kr
(Tel): +82-61-450-2686

및 (*E*)-resveratrol-3-*O*- β -D-glucopyranoside(**6**), 그리고 1종의 coumarin 물질인 scopoletin(**5**)⁶⁾ 규명되었다.

한편, 고로쇠나무 심재의 주요화합물 coumarinolignan 성분 **1**과 **2**의 암세포 증식억제 효능을 세포주를 이용하여 평가하는 중, 두 화합물이 세포배지에서 용해되지 않고 석출되는 것이 발견되었다. 이는 친수성(親水性) 배지 환경에서 두 화합물의 극도로 낮은 용해성이 해당 생리활성의 결과 획득에 장애가 된 것으로 판단되었으며, 이에 난용성 coumarinolignan 화합물 **1** 및 **2**의 가용화를 위해 β -cyclodextrin을 이용하여 포접화합물을 제조하고, 이 포접화합물을 세포에 적용하여 암세포증식 억제효능을 측정하였다. β -Cyclodextrin(β -CD)은 7개의 D-glucopyranose가 α (1→4)-glycosidic bond를 형성하여 만들어진 환상(環狀)을 리고당으로서 내측에 소수성(疏水性)의 공강(空腔)과 외측에 친수성(親水性)이 있는 수산기가 배열된 원통(cylinder)형의 구조를 지니고 있다. 이러한 특성으로 인해 β -CD는 내부에 도입된 난용성의 Guest 화합물과 포접복합체(抱接複合體)를 형성할 수 있기 때문에 지용성 약물의 수용성과 용해도를 증가시키는 친수성 담체로 널리 이용되고 있다.^{7,9)}

본 논문에서는 고로쇠나무 심재로부터 분리된 7종의 폐놀성 화합물의 화학구조를 보고하고, 그 중 주요물질인 2종의 coumarinolignan 화합물을 적용하여 제조된 β -CD 포접화합물 및 이 복합체를 바탕으로 얻어진 해당 coumarinolignan 화합물 2종의 암세포 독성효능에 대해 기술하고자 한다.

재료 및 방법

실험재료 – 본 실험에 이용된 고로쇠나무(*Acer mono Maximowicz*)는 2009년 4월에 전남 광양에서 채취되었으며, 목포대학교 약학대학 김현정교수가 감정한 후 줄기껍질과 심재를 분리하여 음건하였다. 표본(No. P2009AMH)은 목포대학교 약학대학 표본실에 보관되어 있다.

기기 및 시약 – 1D 및 2D를 포함한 NMR 스펙트럼은 Varian사의 INOVA 500 MHz NMR(¹H: 499.998 MHz)과 VNMRS 600 MHz NMR spectrometer(¹H: 600.006 MHz)를 이용하여 측정하였다. MS는 Varian 320-MS TQ mass spectrometer를 이용하여 negative electrospray ion(ESI) mode에서 측정하였으며, CD(circular dichroism) 스펙트럼은 JASCO J-810 spectrometer를 이용하였다. HPLC는 DAD (diode array detector)가 장착된 Agilent사의 HP1100 series를 이용하였으며, column으로 Waters사의 SunFireTM C18 (4.6×150 mm, 5 μ m) 및 SunFireTM Prep C18 OBD(5 μ m, 19×150 mm)를 이용하였다. Column chromatography는 Merck사의 silica gel 60(70-230 mesh)을 적용하였다.

추출 및 분리 – 고로쇠나무 심재 4.30 kg을 잘게 분쇄하고 25 L의 MeOH로 상온에서 3회 추출한 후 감압농축하여

134.0 g의 추출물을 획득하였다. 이 추출물을 중류수에 혼탁한 후 *n*-hexane, EtOAc, *n*-BuOH를 이용, 순차적으로 분획하여 각각 *n*-hexane(8.02 g), EtOAc(17.06 g), *n*-BuOH (27.58 g) 분획물을 얻었다. 심재 EtOAc 분획물 일부를 silica gel 60 chromatography에 적용하고 CHCl₃-MeOH(0.5% formic acid 함유) 조건으로 극성을 증대(24:1→20:1→15:1→10:1→6:1→3:1→1:1, 100% MeOH)시키면서 용출하여 총 12종의 분획(F01-12)을 획득하였다. 화합물 분리정제를 위해 최종적으로 각 분획에 대하여 semi-preparative HPLC를 적용하였고, 그 결과, MeCN-0.1% formic acid 함유 H₂O를 이용, 13:87→50: 50 조건에서 50분 동안 용출하여 분획 F03에서 화합물 **1**과 **5**를, 분획 F04에서 화합물 **2**를, F09에서 화합물 **3**을 획득하였으며, 분획 F10 (MeCN-0.1% formic acid 함유 H₂O 조건, 13:87→40:60, 50분)에서 화합물 **6**을, F11 분획(MeCN-0.1% formic acid 함유 H₂O 조건, 20:80→25:75, 40분)에서 화합물 **4**를 획득하였다.

Cleomiscosin C(1): UV λ_{max} (in HPLC solvent) 232 (sh), 327 nm; ¹H-NMR (500 MHz, DMSO-*d*₆) δ : 7.97 (1H, d, *J*=9.5 Hz, H-4), 6.92 (1H, s, H-5), 6.75 (2H, s, H-2'/6'), 6.35 (1H, d, *J*=9.5 Hz, H-3), 4.96 (1H, d, *J*= 8.0 Hz, H-7'), 4.37 (1H, ddd, *J*=8.0, 4.3, 2.0 Hz, H-8'), 3.79 (3H, s, 6-OCH₃), 3.77 (6H, s, 3'/5'-OCH₃), 3.66 (1H, dd, *J*=12.5, 2.0 Hz, H-9'a), 3.39 (1H, dd, *J*=12.5, 4.3 Hz, H-9'b); ¹³C-NMR (125 MHz, DMSO-*d*₆) δ : 160.08 (C-2), 147.98 (C-3'/5'), 145.30 (C-6), 144.88 (C-4), 138.04 (C-9), 137.06 (C-7), 136.20 (C-4), 131.72 (C-8), 125.72 (C-1'), 113.28 (C-3), 111.30 (C-10), 105.62 (C-2'/6'), 100.76 (C-5), 77.76 (C-8'), 76.62 (C-7'), 59.87 (C-9'), 56.13 (3'/5'-OCH₃), 55.84 (6-OCH₃).

Cleomiscosin D(2): UV λ_{max} (in HPLC solvent) 232 (sh), 327 nm; ¹H-NMR (600 MHz, DMSO-*d*₆) δ : 7.95 (1H, d, *J*=9.6 Hz, H-4), 6.94 (1H, s, H-5), 6.77 (2H, s, H-2'/6'), 6.32 (1H, d, *J*=9.6 Hz, H-3), 4.96 (1H, d, *J*=7.8 Hz, H-7'), 4.36 (1H, ddd, *J*=7.8, 4.2, 2.0 Hz, H-8'), 3.84 (3H, s, 6-OCH₃), 3.77 (6H, s, 3'/5'-OCH₃), 3.62 (1H, dd, *J*=12.3, 2.0 Hz, H-9'a), 3.36 (1H, dd, *J*=12.3, 4.2 Hz, H-9'b); ¹³C-NMR (150 MHz, DMSO-*d*₆) δ : 160.05 (C-2), 148.00 (C-3'/5'), 145.28 (C-6), 144.87 (C-4), 138.06 (C-9), 136.93 (C-7), 136.23 (C-4), 131.97 (C-8), 125.70 (C-1'), 113.19 (C-3), 111.11 (C-10), 105.59 (C-2'/6'), 100.97 (C-5), 78.22 (C-8'), 76.27 (C-7'), 59.91 (C-9'), 56.12 (3'/5'-OCH₃), 55.86 (6-OCH₃).

5-O-methyl-(*E*)-resveratrol-3-*O*- β -D-glucopyranoside (3): UV λ_{max} (in HPLC solvent) 306, 320 nm; ¹H-NMR (500 MHz, CD₃OD) δ : 7.39 (2H, d, *J*=8.5 Hz, H-2'/6'), 7.07 (1H, d, *J*=16.0 Hz, H- β), 6.91 (1H, brs, H-2), 6.90

(1H, d, $J=16.0$ Hz, H- α), 6.77 (2H, d, $J=8.5$ Hz, H-3'/5'), 6.74 (1H, brs, H-6), 6.58 (1H, t, $J=2.0$ Hz, H-4), 4.94 (1H, d, $J=7.3$ Hz, H-1"), 3.94 (1H, dd, $J=12.3, 2.0$ Hz, H-6"), 3.80 (3H, s, 5-OCH₃), 3.70 (1H, dd, $J=12.3, 6.5$ Hz, H-6"), 3.45~3.48 (3H, m, H-3", 4", 5"), 3.38 (1H, m, H-2"); ESI-MS m/z 403 [M-H]⁻.

5-O-methyl-(E)-resveratrol-3-O-β-D-apiofuranosyl-(1→6)-β-D-glucopyranoside(4): UV λ_{max} (in HPLC solvent) 215, 307, 320 nm; ¹H-NMR (500 MHz, CD₃OD) δ : 7.39 (2H, d, $J=9.0$ Hz, H-2'/6'), 7.06 (1H, d, $J=16.3$ Hz, H- β), 6.90 (1H, d, $J=16.3$ Hz, H- α), 6.84 (1H, brs, H-2), 6.78 (2H, d, $J=9.0$ Hz, H-3'/5'), 6.76 (1H, brs, H-6), 6.59 (1H, t, $J=2.0$ Hz, H-4), 4.98 (1H, d, $J=2.5$ Hz, H-1"), 4.90 (1H, d, $J=7.5$ Hz, H-1"), 4.05 (1H, m, H-6"), 3.97 (1H, d, $J=10.0$ Hz, H-4"), 3.89 (1H, d, $J=2.5$ Hz, H-2"), 3.81 (3H, s, 5-OCH₃), 3.75 (1H, d, $J=10.0$ Hz, H-4"), 3.61 (1H, m, H-5"), 3.61 (1H, m, H-6"), 3.54 (2H, s, H-5"), 3.46 (1H, m, H-3"), 3.46 (1H, m, H-2"), 3.37 (1H, brt, $J=8.5$ Hz, H-4"); ¹³C-NMR (125 MHz, CD₃OD) δ : 162.4 (C-5), 160.5 (C-3), 158.7 (C-4'), 141.5 (C-1), 130.4 (C- β), 130.3 (C-1'), 129.2 (C-2'/6'), 126.7 (C- α), 116.7 (C-3'/5'), 111.1 (C-1"), 108.6 (C-2), 106.8 (C-6), 103.2 (C-4), 102.6 (C-1"), 80.7 (C-3"), 78.3 (C-2"), 78.1 (C-3"), 77.0 (C-5"), 75.2 (C-4"), 75.1 (C-2"), 71.7 (C-4"), 68.9 (C-6"), 65.9 (C-5"), 56.0 (5-OCH₃); ESI-MS m/z 535 [M-H]⁻.

Scopoletin(5): UV λ_{max} (in HPLC solvent) 230, 296, 341 nm; ¹H-NMR (500 MHz, CD₃OD) δ : 7.85 (1H, d, $J=9.0$ Hz, H-4), 7.09 (1H, s, H-5), 6.76 (1H, s, H-8), 6.20 (1H, d, $J=9.0$ Hz, H-3), 3.90 (3H, s, 6-OCH₃); ¹³C-NMR (125 MHz, CD₃OD) δ : 164.3 (C-2), 153.1 (C-8a), 151.5 (C-7), 147.2 (C-6), 146.3 (C-4), 112.7 (C-3), 112.7 (C-4a), 110.0 (C-5), 104.1 (C-8), 56.9 (6-OCH₃).

(E)-Resveratrol-3-O-β-D-glucopyranoside(6, trans-piceid): UV λ_{max} (in HPLC solvent) 210, 310, 321 nm; ¹H-NMR (500 MHz, CD₃OD) δ : 7.37 (2H, d, $J=8.5$ Hz, H-2'/6'), 7.02 (1H, d, $J=16.3$ Hz, H- β), 6.85 (1H, d, $J=16.3$ Hz, H- α), 6.79 (1H, brs, H-2), 6.77 (2H, d, $J=8.5$ Hz, H-3'/5'), 6.62 (1H, brs, H-6), 6.45 (1H, t, $J=2.0$ Hz, H-4) 4.90 (1H, d, $J=7.5$ Hz, H-1"), 3.94 (1H, dd, $J=12.0, 2.0$ Hz, H-6"), 3.72 (1H, dd, $J=12.0, 6.0$ Hz, H-6"), 3.50 (1H, m, H-5"), 3.47 (1H, m, H-3"), 3.45 (1H, m, H-2"), 3.38 (1H, d, $J=9.0$ Hz, H-4"); ¹³C-NMR (125 MHz, CD₃OD) δ : 160.6 (C-3), 159.7 (C-5), 158.6 (C-4'), 141.6 (C-1), 130.4 (C- β), 130.1 (C-1), 129.1 (C-2'/6'), 126.8 (C- α), 116.6 (C-3'/5'), 108.4 (C-6), 107.1 (C-2), 104.2 (C-4), 102.5 (C-1"), 78.4 (C-5"), 78.2 (C-3"), 75.1 (C-2"), 71.6 (C-4"), 62.7 (C-6");

ESI-MS m/z 389 [M-H]⁻.

β-Cyclodextrin(β-CD)을 이용한 Cleomiscosin 포접화합물 제조 – Cleomiscosin C(1) 및 cleomiscosin D(2)가 로딩된 CD 나노입자는 고속진동마쇄기(高速振動磨碎機, high-speed vibration milling system)에서 고체상반응(solid-state reaction)을 통해 만들어졌다(Retsch Co. Ltd., MM 200). 각 cleomiscosin 화합물과 CD는 두 개의 스테인리스 mixing balls과 함께 스테인리스 스틸 capsule 안에 넣어진 후, 상온 20 Hz에서 60분 동안 격렬하게 마쇄되었다. 고속진동마쇄를 통해 얻은 물질을 증류수에 1 mg/mL 농도로 녹이고, 8000 g에서 10분 동안 원심분리(Hanil Science Industrial, MICRO 17TR)하여 포접되지 않은 free cleomiscosin을 제거하였다. 이 과정을 추가 반복하여 상등액을 취합하고 동결 건조하였으며(Samwon Engineering, SFDSM12), 제조된 입자의 모양과 표면전하를 SEM 및 ELS-Z의 zeta-potential 모드에서 각각 측정하여 확인하였다. 입자의 hydrodynamic size를 검사하기 위하여 동결 건조된 시료를 물에 녹이고 ultra-sonication을 1분 동안 실시(Sonics and Materials Inc., Model VC 750)한 후, ELS-Z를 이용하여 DLS (dynamic light scattering) 모드에서 검정하였다. 생성된 포접복합체에서 cleomiscosin 화합물의 부하율/loading efficiency)은 UV-Vis spectroscopy(Hitachi spectrometer U-2000)를 통해 확인되었다.

암세포증식 억제활성 평가 – 세포의 증식 및 생존율은 MTT법에 의해 평가되었다. 사람 유래 HCT116 대장암세포(HCT116 colon cancer cells)와 암-연관 섬유아세포(cancer-associated fibroblasts)를 10% FBS와 1% penicillin/streptomycin이 첨가된 DMEM 배지에 분주하고 37°C로 유지되는 5% CO₂ 배양기 내에서 유지하였다. 그 후 각 세포를 96 well plate에 동일하게 분주하고(6×10^3 cells/well), 24시간 동안 배양하였다. 이어 기준의 culture media를 제거하고 serum-free media로 교체한 후, cleomiscosin과 β-CD 포접복합체를 일정 농도로 가하여 48시간 동안 배양하였다. 세포의 활성도(cell viability %)를 측정하기 위하여 3-(4,5-dimethylthiazol-2-yl)-2,5-diphenyl-tetrazolium bromide(MTT) 용액(1 mg/mL)을 가하고 3시간 동안 더 배양하였다. 상등액을 제거한 후, 생성된 formazan을 DMSO 200 μL로 녹여내고 microplate reader(BioRad, Versamax) 540 nm에서 흡광도를 측정하였다. 실험은 3회 반복 실시하여 평균값(means±SD)을 구하였으며, DMSO 대조군의 흡광도값을 기준으로 세포생존율을 비교하였다.

결과 및 고찰

고로쇠나무 심재에 존재하는 화합물의 분리를 위해 해당 원재료에 대한 MeOH 추출물을 제조하였고, 이를 대상으로

용매극성에 따른 분획을 시행하여 *n*-hexane, EtOAc, *n*-BuOH 및 H₂O 등 4종의 분획물을 획득하였다. 이어 EtOAc 분획물에 silica gel chromatography, HPLC 등을 적용하여 총 6종의 화합물을 분리하였다(Fig. 1). 효율적인 성분분석을 위해 각 화합물의 HPLC profile과 UV spectra† DAD (diode array detector)를 바탕으로 190-400 nm에서 스캔하여 수집되었다. 화합물 1, 2 및 5의 UV 스펙트럼을 확인한 결과, 이 화합물들은 330 nm 근처에서 강한 흡수피크를 보여주었으며, 이는 해당 화합물들이 coumarin 유도체임을 시사하였다. 특히 화합물 1과 2는 동일한 UV 흡수 스펙트럼을 나타내었으며, 이는 두 화합물이 구조적으로 이성체임을 드러내었다. 화합물 3, 4 및 6 또한 서로 유사한 UV 흡수 형태를 보여주었으며, 307 및 320 nm에서 나타나는 전형적인 흡수피크는 이 화합물들이 stilbene 유도체임을 시사하였다(Fig. 2).

화합물 1과 2는 모두 백색의 파우더 형태로 분리되었다. 화합물 1의 ¹H-NMR 스펙트럼은 δ_H 6.35 및 7.97(각 1H, d, *J*=9.5 Hz)과 δ_H 6.92(1H, s)에서 coumarin 모핵에 해당하는 proton signals과 더불어 δ_H 6.75(2H, s)에서 두 개의 aromatic protons을, δ_H 4.96(1H, d, *J*=8.0 Hz)과 δ_H 4.37(1H, ddd, *J*=8.0, 4.3, 2.0 Hz)에서 두 개의 oxymethine 기를 확인하였고, δ_H 3.66(1H, dd, *J*=12.5, 2.0 Hz)과 δ_H 3.39(1H, dd, *J*=12.5, 4.3 Hz)에서 hydroxymethylene기를, δ_H 3.79(3H, s) 및 δ_H 3.77(6H, s)에서 세 개의 methoxyl기를 보여주었다. 이 화합물의 ¹³C-NMR 스펙트럼 또한

coumarin의 구성요소인 α,β-unsaturated lactone을 δ_C 160.08 (C=O), 113.28(CH), 144.88(CH)에서, 그리고 aromatic ring을 δ_C 100.76(CH), 145.30(C), 137.06(C), 131.72(C), 138.04(C), δ 111.30(C)에서 나타내었으며, phenylpropanoid의 구성요소인 1,3,4,5-tetrasubstituted aromatic ring⁵ δ_C 125.72(C), 105.62(2×CH), 147.98(2×C), δ 136.20(C)에서, oxygenated aliphatic carbons에 해당하는 δ_C 76.62(CH), 77.76(CH) 및 δ_C 59.87(CH₂)과 함께 관찰되었다. 추가적인 2D NMR 분석과 함께, 이상의 데이터를 기준문헌에 보고된 바와 비교하여^{10,11} 이 화합물의 구조는 cleomiscosin C(aquillochin)임을 확인할 수 있었다.

화합물 2의 NMR 데이터는 cleomiscosin C(1)와 아주 유사하게 나타났으나, C-7과 C-8'의 chemical shift값에서 차이를 나타내었다. 화합물 1과 비교할 때, 화합물 2는 C-7의 경우 δ_C 76.27(-0.35 ppm)로 upfield shift로 관찰되었으며, C-8' carbon의 경우 downfield shift로 δ_C 78.22(+0.46 ppm)에서 관찰되었다. 이 결과는 기존 보고된 문헌과 비교되었으며,^{11,12} 이를 토대로 화합물 2의 구조가 cleomiscosin D임을 확인할 수 있었다. 두 coumarinolignan 물질은 circular dichroism spectroscopy에서 흡수밴드를 나타내지 않았다. 또한 HPLC 크로마토그램 상에서 보인 각 성분의 분리행태, 즉, retention time(*t_R*)의 차이(cleomiscosin C > cleomiscosin D)가 이들의 congeners인 cleomiscosin A와 B의 결과(cleomiscosin A > cleomiscosin B)와 동일한 양식으로 나타남이 확인되었다.^{13,14}

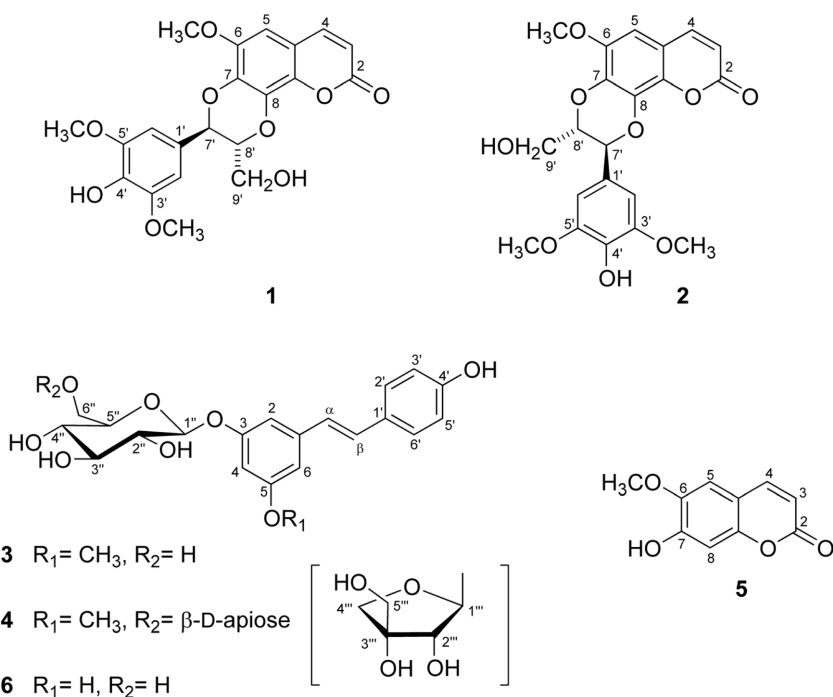


Fig. 1. Chemical structures of compounds 1-6.

화합물 **3**, **4**와 **6**은 NMR spectrum에서 모두 (*E*)-resveratrol aglycone에 해당하는 1,3,5-trisubstituted aromatic ring과 1,4-disubstituted aromatic ring, 그리고 *trans*-olefinic bond ($J \sim 16$ Hz)의 signals을 보여주었으며, 동시에 당(糖)에 대응하는 전형적인 ^1H - 및 ^{13}C -NMR 피크를 나타내어 3종 모두 배당체 화합물임을 시사해 주었다. 이 중 화합물 **3**과 **4**는 한 개의 methoxyl기 ($\delta_{\text{H}} \sim 3.80$)가 존재함을 드러내었고, 그

결합위치는 (*E*)-resveratrol aglycone의 C-5임을 HMBC를 통해 확인할 수 있었다. 또한 각 aglycone에 결합된 당의 종류와 위치는 2D NMR과 문헌비교를 통해 이루어졌는데,⁵⁾ 화합물 **3**과 **6**에 존재하는 당은 하나의 β -D-glucopyranose로 규명되었으며, 화합물 **4**에는 이당류인 β -D-apiofuranosyl-(1 \rightarrow 6)- β -D-glucopyranose가 존재함을 알 수 있었다. 각 당의 결합위치는 HMBC 스펙트럼에서 당의 anomeric proton

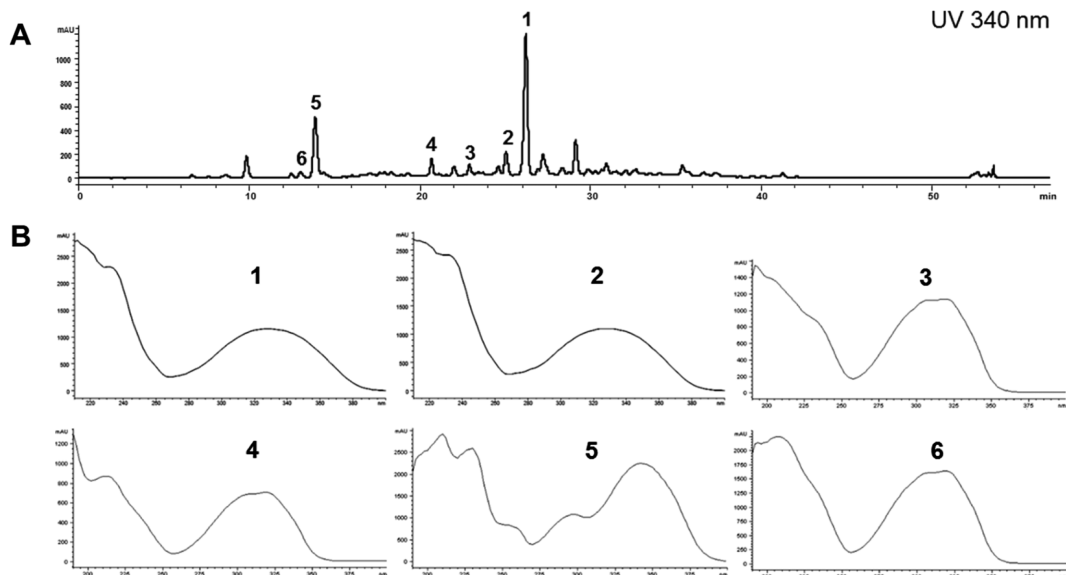


Fig. 2. HPLC profile and UV spectra for compounds **1-6**. Analytic HPLC was performed by a gradient solvent system of MeCN-H₂O (0.1% HCOOH) (13:87 \rightarrow 50:50) with a Waters SunFire™ (4.6 \times 150 mm, 5 μM) for 50 min followed by an isocratic elution with 100% MeCN for 10 min. (A) HPLC chromatograms of **1-6** in the EtOAc fraction from heartwood of *A. mono*; **1** (t_{R} 26.24 min), **2** (t_{R} 25.08 min), **3** (t_{R} 22.93 min), **4** (t_{R} 20.70 min), **5** (t_{R} 13.90 min), **6** (t_{R} 13.04 min). (B) UV spectra of **1-6** obtained by diode array detector.

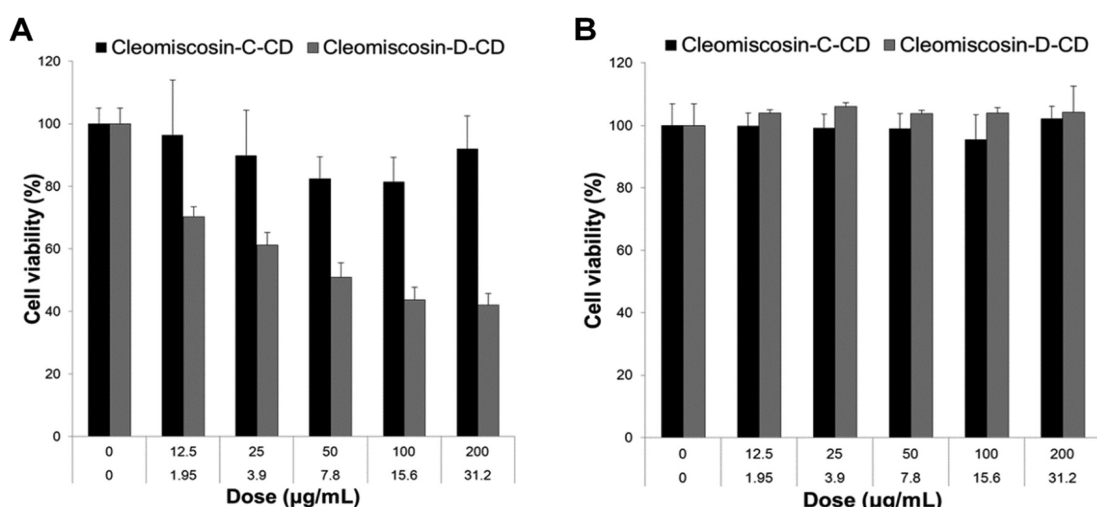


Fig. 3. Anti-proliferation activities of cleomiscosins with β -cyclodextrin inclusion (CD) complexes. They displayed *in vitro* cytotoxicity of both cleomiscosin C-CD (black bar) and cleomiscosin D-CD (gray bar) nanoparticles in HCT116 colon cancer cells (A), and cancer-associated fibroblasts (B). Each dose ($\mu\text{g}/\text{mL}$) in the lower line corresponds the amount of cleomiscosin that is loaded in the cleomiscosin-CD nanoparticle described in the upper line.

과 aglycone의 carbon 사이에 나타나는 correlation 피크를 토대로 C-3 위치로 규명하였다. 상기 분석을 바탕으로 화합물 **3**, **4**와 **6**의 구조는 5-O-methyl-(*E*)-resveratrol-3-O-β-D-glucopyranoside(**3**), 5-O-methyl-(*E*)-resveratrol-3-O-β-D-apiofuranosyl-(1→6)-β-D-glucopyranoside(**4**)와 (*E*)-resveratrol-3-O-β-D-glucopyranoside(**6**)로 판명되었다. 기존 연구된 고로쇠나무(*A. mono*) 유래의 2차 대사산물로서, 잎으로부터 화합물 **3** 및 **4**의 존재가 보고되어 있으며 이 화합물들은 간세포보호 활성을 나타냄이 알려져 있다.^{5,6)}

화합물 **5**는 coumarin 모핵에 해당하는 proton signals^{1H} 7.85와 6.20(각 1H, d, $J=9.0$ Hz)에서 나타났고 δ_H 7.09와 6.76에서 aromatic protons(1H, s)^{13C}, 또한 δ_H 3.90에서 하나의 methoxyl기가 나타나는 것을 확인하였다. 각 피크의 위치, coupling constants 및 HMBC correlation 결과를 문헌¹⁵⁾과 비교하여 이 화합물은 scopoletin임이 확인되었다.

고로쇠나무 심재로부터 나온 주요 coumarinolignoid 성분이자, 난용성 화합물인 cleomiscosin C(**1**)와 D(**2**)에 대한 암세포증식 억제효능이 사람유래 대장암세포 HCT116에서 MTT법으로 평가되었다. 세포배지 환경에서 화합물 **1**과 **2**는 극도로 낮은 용해성으로 인해 세포배지 환경에서 다시 석출되어 세포막에 침전을 형성하는 현상을 일으켰으며, 이는 MTT법의 장애요소로 나타났다. 이를 개선하기 위하여 cleomiscosin C(**1**)와 D(**2**)가 로딩된 β-cyclodextrin(β-CD) 나노입자를 제조하였으며, 이 복합체는 고속진동마쇄계(hight-speed vibration milling system)에서 β-CD와 함께 고체상 반응(solid-state reaction)에 의해 생성되었다. 상기 방법을 거쳐 생성된 각 cleomiscosin-CD 포접화합물에 함유되어 있는 cleomiscosin의 함유량(percentage compound content)은 UV spectroscopy에 의해 15.6%로 확인되었다.

화합물 **1**과 **2**의 암세포증식 억제효능은 수용성이 증대된 cleomiscosin-CD 복합체를 이용하여 성공적으로 측정되었다(Fig. 3). 나노입자 cleomiscosin C-CD는 최대 200 μg/mL 농도에서도 HCT116 세포에 대한 증식 억제효능을 나타내지 않았다. 반면, cleomiscosin D-CD 포접화합물은 12.5~200 μg/mL 농도, 즉, 1.95~31.2 μg/mL의 cleomiscosin D가 농도의존적으로 암세포의 증식을 억제함을 보여주었다. 더구나 해당 동일농도에서 cleomiscosin D는 암-연관 섬유아세포(cancer-associated fibroblasts)에 세포증식 억제 효능을 나타내지 않는 것으로 확인되었으며, 이 결과로 판단컨대 이 화합물이 HCT116 대장암세포에 대한 세포독성만을 선택적으로 나타냄을 시사하였다.

결 론

단풍나무과(Aceraceae)에 속하는 고로쇠나무(*Acer mono Maximowicz*) 심재로부터 총 6종의 폐놀성 성분을 분리하였

으며, 그 화학구조는 각각 cleomiscosin C(**1**)와 cleomiscosin D(**2**), 5-O-methyl-(*E*)-resveratrol-3-O-β-D-glucopyranoside(**3**), 5-O-methyl-(*E*)-resveratrol-3-O-β-D-apiofuranosyl-(1→6)-β-D-glucopyranoside(**4**)와 scopoletin(**5**), 그리고 (*E*)-resveratrol-3-O-β-D-glucopyranoside(**6**)으로 밝혀졌다. 이 중 주요 coumarinolignoid 성분이자 난용성 화합물인 cleomiscosin C(**1**)와 cleomiscosin D(**2**)의 암세포증식 억제효능을 HCT116 대장암세포주를 이용하여 MTT법으로 평가하였다. 이는 화합물의 수용성 증대를 목표로 β-cyclodextrin을 이용한 cleomiscosin-CD 포접화합물을 제조한 후 in vitro assay에 적용함으로써 성공리에 이루어졌으며, 세포활성 결과는 cleomiscosin D(**2**)가 HCT116 암세포에 대한 선택적인 증식 억제효능을 나타냄을 증명하였다. 이에 본 연구결과는 고로쇠나무의 성분분석 및 생리활성 연구의 기초자료로 이용될 수 있을 뿐만 아니라, 천연물 유래 난용성화합물의 생물활성평가를 수월하게 진행할 수 있는 방법의 예시 중 하나로 제시될 수 있으리라 사료된다.

사 사

본 논문은 2012학년도 목포대학교 교내연구비 지원에 의하여 연구되었으며, 이에 감사드립니다.

인용문헌

- van Gelderen, D. M., de Jong, P. C. and Oterdoom, H. J. (1994) *Maples of the world*. Timber Press, Portland.
- Bae, K. H. (2000) *The medicinal plants of Korea*. Kyo-Hak Publishing Co., Ltd., Seoul, p 302.
- Lee, G. S., Byun, H. S., Kim, M.-H., Lee, B. M., Ko, S. H., Jung, E. M., Gwak, K. S., Choi, I. G., Kang, H. Y., Jo, H. J., Lee, H. J. and Jeung, E. B. (2008) The beneficial effect of the sap of *Acer mono* in animal with low-calcium diet-induced osteoporosis-like symptoms. *Br. J. Nutr.* **100**: 1011-1018.
- Park, C. H., Son, H. U., Son, M. and Lee, S. H. (2011) Protective effect of *Acer mono* Max. sap on water immersion restraint stress-induced gastric ulceration. *Exp. Ther. Med.* **2**: 843-848.
- Yang, H., Sung, S. H. and Kim, Y. C. (2005) Two new hepatoprotective stilbene glycosides from *Acer mono* leaves. *J. Nat. Prod.* **68**: 101-103.
- Yang, H., Lee, M. K. and Kim, Y. C. (2005) Protective activities of stilbene glycosides from *Acer mono* leaves against H₂O₂-induced oxidative damage in primary cultured rat hepatocytes. *J. Agric. Food. Chem.* **53**: 4182-4186.
- Sharma, U.S., Balasubrmanian, S. V. and Straubinger, R. M. (1995) Pharmaceutical and physical properties of paclitaxel (taxol) complexes with cyclodextrins. *J. Pharm. Sci.* **84**: 1223-1230.

8. Zheng, Y., Haworth, I. S., Zuo, Z., Chow, M. S. S. and Chow, A. H. L. (2005) Physicochemical and structural characterization of quercetin- β -cyclodextrin complexes. *J. Pharm. Sci.* **94**: 1079-1089.
9. Karan, M., Sahoo, N. G., Li, L. and Judeh, Z. (2011) Dissolution enhancement of artemisinin with β -cyclodextrin. *Chem. Pharm. Bull.* **59**: 646-652.
10. Ray, A. B., Chattopadhyay, S. K. and Kumar, S. (1985) Structures of cleomiscosins, coumarino-lignoids of *Cleome viscosa* seeds. *Tetrahedron* **41**: 209-214.
11. Tanaka, H., Ishihara, M., Ichino, K. and Ito, K. (1988) Total synthesis of coumarinolignans, aquillochin (cleomiscosin C) and cleomiscosin D. *Chem. Pharm. Bull.* **36**: 3833-3837.
12. Kumar, S., Ray, A. B., Konno, C., Oshima, Y. and Hikino, H. (1988) Cleomiscosin D, a coumarino-lignan from seeds of *Cleome viscosa*. *Phytochemistry* **27**: 636-638.
13. Chattopadhyay, S. K., Kumar, S., Kaur, R., Tandon, S. and Rane, S. (2009) Identification and quantification of two anti-hepatotoxic coumarinolignoids cleomiscosin A and cleomiscosin B in the seeds of *Cleome viscosa* using liquid chromatography-tandem mass spectrometry. *Biomed. Chromatogr.* **23**: 340-356.
14. Chattopadhyay, S. K., Kumar, S., Tripathi, S. and Gupta, A. K. (2007) High-performance liquid chromatographic method for identification and quantification of two isomeric coumarinolignoids-cleomiscosin A and cleomiscosin B-in extracts of *Cleome viscosa*. *Biomed. Chromatogr.* **21**: 1214-1220.
15. Siddiqui, B. S., Sattar, F. A., Ahmad, F. and Begum, S. (2007) Isolation and structural elucidation of chemical constituents from the fruits of *Morinda citrifolia* Linn. *Arch. Pham. Res.* **30**: 919-923.

(2015. 5. 6 접수; 2015. 6. 1 심사; 2015. 6. 4 게재확정)